

# ПРОВОДИМОСТЬ ДВУМЕРНОЙ МОДЕЛИ СТРУКТУРНО АНИЗОТРОПНОГО КОМПОЗИТА

*Б. Я. Балагуров\**

*Институт биохимической физики им. Н. М. Эмануэля Российской академии наук  
119334, Москва, Россия*

Поступила в редакцию 9 сентября 2009 г.

Рассмотрена проводимость двумерной структурно анизотропной модели композита, представляющей собой изотропную матрицу с системой непроводящих включений в виде бесконечно тонких отрезков прямых линий (царапин). Царапины составляют с выделенной осью (для определенности — с осью  $y$ ) с равной вероятностью углы  $\theta$  или  $-\theta$ , а их центры хаотически распределены. С помощью приближенного метода эффективной среды найдено общее выражение для тензора эффективной проводимости  $\hat{\sigma}_e$  этой модели, справедливое в широком диапазоне изменения концентрации. Показано, что в этом приближении обе составляющие тензора  $\hat{\sigma}_e$  обращаются в нуль при одном и том же пороге протекания, для которого найдено явное выражение. Проводимость модели в критической области рассмотрена в рамках гипотезы подобия.

## 1. ВВЕДЕНИЕ

В стандартной теории протекания [1–3] основное внимание уделяется макроскопически изотропным неоднородным системам. В то же время значительный теоретический и практический интерес представляет также изучение электрофизических свойств менее исследованных анизотропных композиционных материалов. Из работ, посвященных исследованию проводимости этого класса композитов, отметим следующие.

В работах [4–9] различными методами изучалась проводимость композитов с естественной анизотропией — слоистых типа графита и нитевидных типа TCNQ. В работе [4] ставился численный эксперимент на кубической решетке (задача связей). В работах [5–7] рассмотрена проводимость в окрестности порога протекания, а в работах [8, 9] — во всем диапазоне изменения концентрации. В этих работах был выявлен ряд черт, характерных для анизотропных композитов. В частности, было показано, что при приближении к точке фазового перехода металл–диэлектрик исходно резко анизотропный композит становится практически изотропным. При этом соответствующие критические индексы совпа-

дают с их изотропными значениями. В работах [8, 9] рассмотрена также промежуточная область концентраций, в которой свойства анизотропных композитов кардинально отличаются от изотропных.

В работах [10–14] исследовались структурно анизотропные композиты, анизотропия которых создается искусственно — путем введения в изотропную матрицу одинаково ориентированных включений, например, вытянутой формы. В работах [10, 11] компьютерными методами определялись пороги протекания (критические концентрации) для двумерных моделей с системой царапин, имеющих преимущественную ориентацию. Согласно результатам, полученным в работах [10, 11], критические концентрации для главных значений эффективного тензора проводимости  $\hat{\sigma}_e$  отличаются друг от друга. Однако, как отмечено в работе [10], это связано, по-видимому, с конечностью числа царапин, использованных в компьютерном эксперименте. В работе [10] приведены аргументы в пользу того, что в пределе бесконечного ансамбля включений порог протекания должен быть один. В работах [12, 13] проведены модельные эксперименты по изучению проводимости тонких металлических пленок с системой параллельных, а также взаимно перпендикулярных отверстий эллиптической формы с отношением полуосей  $b/a \ll 1$ . В работе [14] вычислялась теплопроводность трехмерного композита с системой па-

\*E-mail: balagurov@deom.chph.ras.ru, byabalagurov@mail.ru

раллельных включений иглообразной формы.

В настоящей работе аналитическими методами исследуется проводимость двумерной модели структурно анизотропного композита, аналогичной рассмотренной в работах [10, 11]. Определены усредненные геометрические характеристики модели и вычислен тензор эффективной проводимости в линейном по концентрации включений (царапин) приближении. Проводимость в широком диапазоне изменения концентрации рассмотрена с помощью приближенного метода — обобщенной на анизотропный случай так называемой теории эффективной среды [1]. Как известно, этот метод не может претендовать на адекватное описание проводимости в окрестности точки фазового перехода металл–диэлектрик. Тем не менее, как показывает сравнение результатов настоящей работы с работой [15], это приближение дает для порога протекания значение, количественно близкое к найденной в работе [15] величине. Поведение проводимости модели при приближении к порогу протекания рассмотрено с привлечением представлений гипотезы подобия [3].

## 2. МОДЕЛЬ

Рассматриваемая модель (рис. 1) представляет собой изотропную матрицу проводимости  $\sigma_1$  с системой непроводящих (или идеально проводящих) включений в виде бесконечно тонких отрезков прямых линий (царапин) длиной  $2a$ . Царапины с равной вероятностью ориентированы под углами  $\theta$  или  $-\theta$  относительно оси  $y$ , а их центры случайно распределены в плоскости  $x, y$ . Угол  $\theta$  может принимать любое фиксированное значение из интервала  $0 \leq \theta \leq \pi/4$ . В общем случае подобная модель структурно анизотропна и ее электропроводность характеризуется эффективным тензором проводимости  $\hat{\sigma}_e$ . В частном случае  $\theta = \pi/4$  модель макроскопически изотропна и описывается скалярной эффективной проводимостью  $\sigma_e$ . Интервал углов  $\pi/4 \leq \theta \leq \pi/2$  не рассматривается, так как этот случай сводится к предыдущему поворотом осей координат на  $90^\circ$ .

Обозначим размерную концентрацию включений (число включений на единице площади) через  $N$ . Величина  $\ell = N^{-1/2}$  дает среднее расстояние между центрами включений. Кроме  $\ell$  и длины царапины  $2a$  для рассматриваемой модели имеется еще две геометрические характеристики — средние расстояния по прямой между включениями:  $\langle L_x \rangle$  вдоль оси  $x$  и  $\langle L_y \rangle$  вдоль оси  $y$ . Для оценки величин  $\langle L_x \rangle$  и  $\langle L_y \rangle$

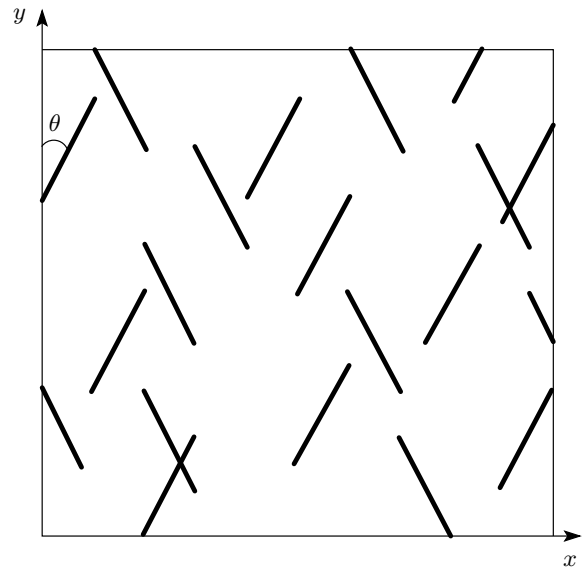


Рис. 1. Двумерная модель структурно анизотропного композита

рассмотрим аналогичную модель с включениями в виде эллипсов с полуосями  $a$  и  $b$  (при  $b \ll a$ ).

Проведем, следуя работе [8], вдоль оси  $x$  прямую линию длиной  $\mathcal{L} \rightarrow \infty$ . На своем пути эта линия пересечет  $\mathcal{N}$  включений по хордам длиной  $l_{xi}$ . При случайном распределении центров включений согласно работе [16] имеем

$$c = \frac{1}{\mathcal{L}} \sum_{i=1}^{\mathcal{N}} l_{xi} = \frac{\mathcal{N}}{\mathcal{L}} \langle l_x \rangle. \quad (1)$$

Здесь  $c = \pi abN$  — безразмерная концентрация (доля занимаемой площади) включений,  $\langle l_x \rangle$  — среднее значение длин хорд, по которым пересекаются эллипсы вдоль оси  $x$ . С другой стороны, имеем очевидное равенство

$$\frac{\mathcal{L}}{\mathcal{N}} = \langle L_x \rangle + \langle l_x \rangle, \quad (2)$$

где  $\langle L_x \rangle$  — искомое среднее расстояние между включениями в направлении оси  $x$ . Из формул (1) и (2) находим

$$\langle L_x \rangle = \frac{1-c}{c} \langle l_x \rangle. \quad (3)$$

Нетрудно видеть, что для выпуклой фигуры среднее значение длины хорды вдоль оси  $x$  равно площади  $S$  этой фигуры, деленной на длину ее проекции на ось  $y$  (см. [16]). Для эллипса  $S = \pi ab$ , а при  $b \ll a$  для длины этой проекции имеем примерно  $2a \cos \theta$ . Поэтому  $\langle l_x \rangle \approx \pi b/2 \cos \theta$ , так что из вы-

ражения (3) при  $b \rightarrow 0$  для модели с царапинами получаем

$$\langle L_x \rangle = \frac{1}{2aN \cos \theta}. \quad (4)$$

Аналогичным образом находим  $\langle l_y \rangle \approx \pi b/2 \sin \theta$ , так что

$$\langle L_y \rangle = \frac{1}{2aN \sin \theta}. \quad (5)$$

Таким образом,

$$\frac{\langle L_y \rangle}{\langle L_x \rangle} = \operatorname{ctg} \theta. \quad (6)$$

Результаты (4), (5) означают, что первая компонента (матрица) в этой модели разделена в среднем на области длиной  $\langle L_x \rangle$  и  $\langle L_y \rangle$  соответственно в направлении осей  $x$  и  $y$ .

### 3. ЛИНЕЙНОЕ ПО КОНЦЕНТРАЦИИ ПРИБЛИЖЕНИЕ

Вычисление эффективной электропроводности  $\sigma_e$  изотропной среды, состоящей из матрицы проводимости  $\sigma_1$  и включений проводимости  $\sigma_2$ , методом, изложенным в книге [17, § 9], после усреднения выражения  $\mathbf{j} - \sigma_1 \mathbf{E}$  приводит к соотношению

$$(\sigma_e - \sigma_1) \langle \mathbf{E} \rangle = -N (\sigma_1 - \sigma_2) \int_v \mathbf{E} dV. \quad (7)$$

Здесь  $\mathbf{j}$  — плотность тока,  $\mathbf{E}$  — напряженность электрического поля,  $\langle \mathbf{E} \rangle$  — среднее по объему (площади в двумерном случае) образца, а  $N$ , как и выше, — размерная концентрация включений. Интеграл в соотношении (7), взятый по объему включения  $v$ , может быть выражен через его дипольный момент  $\mathbf{p}$ .

Рассмотрим аналогичную задачу для макроскопического тела с диэлектрической проницаемостью  $\varepsilon$ , помещенного во внешнее однородное электрическое поле напряженности  $\mathbf{E}_0$ . Дипольный момент  $\mathbf{p}$  равен интегралу по объему этого тела  $v$  от вектора поляризации  $\mathbf{P}$ :

$$\mathbf{p} = \int_v \mathbf{P} dV = \frac{1}{4\pi} \int_v (\mathbf{D} - \mathbf{E}) dV = \frac{\varepsilon - 1}{4\pi} \int_v \mathbf{E} dV, \quad (8)$$

где  $\mathbf{D}$  — вектор электрической индукции. С другой стороны, дипольный момент выражается через  $\mathbf{E}_0$  следующим образом:

$$\mathbf{p} = \hat{\Lambda} \mathbf{E}_0, \quad (9)$$

где  $\hat{\Lambda}$  — дипольная поляризуемость тела, имеющая размерность объема (площади в двумерном случае).

Для задачи о проводимости искомое соотношение следует из формулы (8) при замене  $\varepsilon \rightarrow \sigma_2/\sigma_1$ , так что из формул (7)–(9) получаем

$$(\sigma_e - \sigma_1) \langle \mathbf{E} \rangle = 4\pi N \sigma_1 \hat{\Lambda} \mathbf{E}_0. \quad (10)$$

В линейном по концентрации приближении следует положить  $\langle \mathbf{E} \rangle = \mathbf{E}_0$  и тогда для достаточно симметричных включений, тензор  $\hat{\Lambda}$  для которых сводится к скаляру  $\Lambda$ , из уравнения (10) находим (см., например, [18])

$$\sigma_e = \sigma_1 (1 + 4\pi N \Lambda). \quad (11)$$

Если же  $\hat{\Lambda}$  не сводится к скаляру, а включения хаотически ориентированы, то тензор  $\hat{\Lambda}$  нужно усреднить по углам, так что вместо (11) получим

$$\sigma_e = \sigma_1 \left\{ 1 + \frac{4\pi}{D} N \operatorname{Sp} \hat{\Lambda} \right\}, \quad (12)$$

где  $D$  — размерность пространства.

Наконец, если несимметричные включения одинаково ориентированы, то такая среда и при изотропной матрице становится макроскопически анизотропной. Для такого структурно анизотропного композита эффективный тензор проводимости в линейном по концентрации приближении имеет вид

$$\hat{\sigma}_e = \sigma_1 (\hat{1} + 4\pi N \hat{\Lambda}). \quad (13)$$

Здесь  $\hat{1}$  — единичный диагональный тензор:  $(\hat{1})_{\alpha\beta} = \delta_{\alpha\beta}$ . В главных осях

$$\sigma_{\nu e} = \sigma_1 (1 + 4\pi N \Lambda_\nu), \quad \nu = x, y, z. \quad (14)$$

Здесь и ниже используются сокращенные обозначения:  $\sigma_{xx} = \sigma_x, \dots, \Lambda_{xx} = \Lambda_x, \dots$

Отметим, что выражения (11)–(14) особенно удобны в предельных случаях диэлектрических и идеально проводящих включений (в том числе и для «бестелесных», типа царапин), когда для нахождения тензора поляризуемости  $\hat{\Lambda}$  достаточно ограничиться внешней задачей. При  $D = 2$  для этого можно использовать метод конформных отображений, см., например, Приложение.

Для исследуемой в настоящей работе модели тензор  $\hat{\Lambda}$  найден в Приложении. При применении формулы типа (14) царапины с углами  $\theta$  и  $-\theta$  относительно оси  $y$  можно рассматривать как разные включения одинаковой концентрации  $N/2$ . Поэтому в случае диэлектрических ( $d$ ) царапин для безразмерных эффективных проводимостей  $f_{\nu d} = \sigma_{\nu e}^{(d)}/\sigma_1$  получаем

$$f_{\nu d} = 1 + 4\pi N \bar{\Lambda}_{\nu d}, \quad \nu = x, y, \quad (15)$$

где  $\bar{\Lambda}_{\nu d}$  — составляющие симметричного тензора

$$\hat{\Lambda}_d = \frac{1}{2} \left\{ \hat{\Lambda}_d(\theta) + \hat{\Lambda}_d(-\theta) \right\} = -\frac{a^2}{4} \begin{pmatrix} \cos^2 \theta & 0 \\ 0 & \sin^2 \theta \end{pmatrix}. \quad (16)$$

Результат (15) означает, что в этом приближении рассматриваемая система эквивалентна более простой модели с одинаковыми включениями, обладающими симметричным тензором поляризуемости  $\hat{\Lambda}_d$  из формулы (16).

Из формул (15), (16) следует, что

$$f_{xd} = 1 - \pi a^2 N \cos^2 \theta, \quad (17)$$

$$f_{yd} = 1 - \pi a^2 N \sin^2 \theta. \quad (18)$$

Отметим, что при  $\theta = \pi/4$  рассматриваемая модель изотропна:  $f_{xd} = f_{yd} = f_d$ , где  $f_d = 1 - (1/2)\pi a^2 N$ .

Выражения (17), (18) с ростом концентрации  $N$  обращаются в нуль и затем становятся отрицательными. Однако распространение этих формул на такие концентрации неправомерно, так как их область применимости ограничена малостью линейных по  $N$  поправок по сравнению с единицей. Тем не менее при  $\theta \sim 1$  выражения (17), (18) дают, по-видимому, правильную по порядку величины оценку для порога протекания  $N_c$  этой модели. Действительно, царапины могут образовать бесконечный кластер [2], если среднее расстояние между их центрами  $\ell = N^{-1/2}$  не превышает величины порядка  $a$ , откуда для критической концентрации получаем оценку  $N_c \sim 1/a^2$ .

При  $\theta \ll 1$  включения ориентированы почти вертикально, так что соседние (вдоль оси  $y$ ) царапины пересекутся, если среднее расстояние  $\langle L_y \rangle \sim (aN\theta)^{-1}$  между ними сравнимо с их длиной  $2a$ . При этом среднее расстояние вдоль оси  $x$  не должно превышать величины равной примерно  $a\theta$ . Поэтому в этом случае «протекание» по включениям в направлении оси  $y$  произойдет при  $N_c \sim 1/(a^2\theta) \gg 1/a^2$ . При таких средних расстояниях между царапинами (при  $N \sim N_c$ ) возможно «протекание» и по включениям в направлении оси  $x$ . Следовательно, пороги протекания вдоль осей  $x$  и  $y$  либо совпадают, либо имеют одинаковый порядок величины. Как будет показано ниже, в приближении эффективной среды в рассматриваемой модели имеется только один порог протекания, при котором обращаются в нуль (в случае непроницаемых царапин) обе составляющие эффективного тензора проводимости.

#### 4. ЛИНЕЙНОЕ ПО КОНЦЕНТРАЦИИ ПРИБЛИЖЕНИЕ ДЛЯ АНИЗОТРОПНОЙ СРЕДЫ

Использованный в предыдущем разделе подход может быть обобщен и на анизотропный случай. Для этого нужно предварительно перейти к некоторой «штрихованной» системе, в которой включение окружено изотропной средой. Ниже ограничимся двумерным случаем.

Рассмотрим двумерную систему, для которой главные оси тензоров проводимости матрицы  $\hat{\sigma}_1$  и включения  $\hat{\sigma}_2$  совпадают с декартовыми осями  $x$  и  $y$ . Уравнения постоянного тока  $\text{rot } \mathbf{E} = 0$  и  $\text{div } \mathbf{j} = 0$  в этом случае имеют вид

$$\frac{\partial E_x}{\partial y} - \frac{\partial E_y}{\partial x} = 0, \quad \frac{\partial j_x}{\partial x} + \frac{\partial j_y}{\partial y} = 0. \quad (19)$$

Для закона Ома в первой и второй компонентах имеем соответственно

$$j_{x1} = \sigma_{x1} E_{x1}, \quad j_{y1} = \sigma_{y1} E_{y1}, \quad (20)$$

$$j_{x2} = \sigma_{x2} E_{x2}, \quad j_{y2} = \sigma_{y2} E_{y2}. \quad (21)$$

Потенциал  $\varphi(\mathbf{r})$  вне включения подчиняется уравнению

$$\sigma_{x1} \frac{\partial^2 \varphi}{\partial x^2} + \sigma_{y1} \frac{\partial^2 \varphi}{\partial y^2} = 0. \quad (22)$$

Преобразуем координаты, напряженность электрического поля и плотность тока следующим образом:

$$x = x', \quad y = \gamma y', \quad \gamma = \sqrt{\frac{\sigma_{y1}}{\sigma_{x1}}}, \quad (23)$$

$$E_x = \gamma E'_{x'}, \quad E_y = E'_{y'}; \quad (24)$$

$$j_x = j'_{x'}, \quad j_y = \gamma j'_{y'}. \quad (25)$$

В штрихованной системе уравнения (19) сохраняют свой вид, а матрица становится изотропной с законом Ома

$$\mathbf{j}' = \sigma_0 \mathbf{E}', \quad \sigma_0 = \sqrt{\sigma_{x1} \sigma_{y1}}, \quad (26)$$

так что вместо формулы (22) потенциал  $\varphi'(\mathbf{r}')$  подчиняется уравнению Лапласа

$$\frac{\partial^2 \varphi'}{\partial x'^2} + \frac{\partial^2 \varphi'}{\partial y'^2} = 0. \quad (27)$$

Наконец, для составляющих тензора проводимости  $\hat{\sigma}'_2$  получаем

$$\sigma'_{x2} = \gamma \sigma_{x2}, \quad \sigma'_{y2} = \frac{1}{\gamma} \sigma_{y2}. \quad (28)$$

Подчеркнем, что при преобразовании (23)–(25) изменяется не только тензор проводимости включения, но и его форма.

Для анизотропной среды соотношения, аналогичные (7) и (8), имеют вид

$$(\hat{\sigma}_e - \hat{\sigma}_1) \langle \mathbf{E} \rangle = -N (\hat{\sigma}_1 - \hat{\sigma}_2) \int_v \mathbf{E} dV, \quad (29)$$

$$p_\alpha = \frac{1}{4\pi} (\varepsilon_{\alpha\beta} - \delta_{\alpha\beta}) \int_v E_\beta dV. \quad (30)$$

При диагональных тензорах диэлектрической проницаемости  $\hat{\varepsilon}$  и поляризуемости  $\hat{\Lambda}$  из  $x$ -составляющей равенства (30) находим

$$\int_v E_x dV = \frac{4\pi}{\varepsilon_x - 1} p_x = \frac{4\pi}{\varepsilon_x - 1} \Lambda_x E_{0x}. \quad (31)$$

Такое же соотношение с заменой  $x \rightarrow y$  следует и из составляющей  $y$  равенства (30).

Для двумерной штрихованной системы из формулы (31) при  $\varepsilon_x = \sigma'_{x2}/\sigma_0$  получаем

$$\int_{s'} E'_{x'} dS' = -4\pi \frac{\sigma_0}{\sigma_0 - \sigma'_{x2}} \Lambda'_x E'_{0x'}. \quad (32)$$

Поэтому для исходной анизотропной системы имеем

$$\begin{aligned} \int_s E_x dS &= \gamma^2 \int_{s'} E'_{x'} dS' = \\ &= -4\pi\gamma \frac{\sigma_0}{\sigma_0 - \sigma'_{x2}} \Lambda'_x E_{0x}. \end{aligned} \quad (33)$$

Поскольку

$$\frac{\sigma_0}{\sigma_0 - \sigma'_{x2}} = \frac{\sigma_{x1}}{\sigma_{x1} - \sigma_{x2}}, \quad (34)$$

из формулы (29) с учетом (33), (34) в линейном по концентрации приближении получаем

$$\sigma_{xe} = \sigma_{x1} (1 + 4\pi N \gamma \Lambda'_x), \quad \gamma = \sqrt{\frac{\sigma_{y1}}{\sigma_{x1}}}. \quad (35)$$

Аналогичным образом находим

$$\sigma_{ye} = \sigma_{y1} (1 + 4\pi N \gamma \Lambda'_y) \quad (36)$$

с тем же значением величины  $\gamma$ .

## 5. ПРИБЛИЖЕНИЕ ЭФФЕКТИВНОЙ СРЕДЫ

Для описания проводимости рассматриваемой модели при немалых концентрациях применим приближенный метод — так называемую теорию эффективной среды [1]. Это приближение неплохо зарекомендовало себя при изучении как изотропных [1],

так и анизотропных [9] неупорядоченных композитов в широком диапазоне изменения концентрации. Как и всякая теория типа самосогласованного поля, этот метод неприменим в окрестности точки фазового перехода металл–диэлектрик. Однако и в этом случае теория эффективной среды дает правильную по порядку величины оценку для порога протекания.

Для вывода основных уравнений приближения эффективной среды в задаче о проводимости  $n$ -компонентного композита усредним вектор  $\mathbf{J} = \mathbf{j} - \hat{\sigma}_e \mathbf{E}$  по объему (площади при  $D = 2$ ) образца  $V$ . Поскольку по определению эффективного тензора проводимости  $\langle \mathbf{j} \rangle = \hat{\sigma}_e \langle \mathbf{E} \rangle$ , среднее значение вектора  $\mathbf{J}$  равно нулю. С другой стороны,

$$\langle \mathbf{j} - \hat{\sigma}_e \mathbf{E} \rangle = - \sum_{i=1}^n (\hat{\sigma}_e - \hat{\sigma}_i) \frac{1}{V} \int_{V_i} \mathbf{E} dV, \quad (37)$$

где  $\hat{\sigma}_i$  — тензор проводимости  $i$ -й компоненты, а интеграл берется по ее объему  $V_i$ . С учетом равенства нулю левой части тождество (37) принимает вид

$$\sum_{i=1}^n N_i (\hat{\sigma}_e - \hat{\sigma}_i) \left\{ \int_v \mathbf{E} dV \right\}_i = 0. \quad (38)$$

Здесь  $N_i$  — число включений  $i$ -й компоненты в единице объема, интегрирование в формуле (38) ведется по объемам включений этой компоненты. Под  $\{ \dots \}_i$  понимается усреднение по разным включениям  $i$ -й компоненты.

Приближение метода эффективной среды состоит в замене величины  $\{ \dots \}_i$  в формуле (38) на интеграл от напряженности электрического поля  $\mathbf{E}_i$  внутри некоторого среднего  $i$ -го включения, помещенного в матрицу («эффективную среду») с тензором проводимости  $\hat{\sigma}_e$ .

Форму «включений» первой (с изотропной проводимостью  $\sigma_1$ ) компоненты выбираем из тех соображений, что они в среднем имеют размер  $\langle L_x \rangle$  вдоль оси  $x$  и  $\langle L_y \rangle$  вдоль оси  $y$ . Согласно формуле (6)  $\langle L_x \rangle / \langle L_y \rangle = \text{tg } \theta$ , так что в качестве «включения» первой компоненты возьмем эллипс с отношением полуосей

$$a_x / a_y = \text{tg } \theta. \quad (39)$$

Выбор эллиптической формы продиктован тем, что внутри такого включения напряженность электрического поля может быть найдена в явном виде. Для сохранения площади включения следует положить  $a_x = \langle L_x \rangle / \sqrt{\pi}$  и  $a_y = \langle L_y \rangle / \sqrt{\pi}$ .

В данном случае главные оси тензора  $\hat{\sigma}_e$  совпадают как с осями симметрии этого эллипса, так и с осями координат  $x$  и  $y$ . Поэтому согласно работе [9] для составляющих напряженности электрического поля  $\mathbf{E}_1$  внутри рассматриваемого эллипса имеем

$$E_{\nu 1} = \frac{\sigma_{\nu e}}{\sigma_{\nu e} - (\sigma_{\nu e} - \sigma_1) \bar{n}^{(\nu)}} E_{\nu 0}, \quad \nu = x, y. \quad (40)$$

Здесь  $\sigma_{\nu e}$  — главные значения тензора  $\hat{\sigma}_e$ ,  $\mathbf{E}_0 = = (\mathbf{E})$  — напряженность электрического поля вдали от включения,  $\bar{n}^{(\nu)}$  — коэффициенты деполяризации эллипса с полуосями

$$\bar{a}_\nu = \frac{a_\nu}{\sqrt{\sigma_{\nu e}}}, \quad \nu = x, y. \quad (41)$$

В рассматриваемом двумерном случае коэффициенты деполяризации имеют простой вид

$$\bar{n}^{(x)} = \frac{\bar{a}_y}{\bar{a}_x + \bar{a}_y}, \quad \bar{n}^{(y)} = \frac{\bar{a}_x}{\bar{a}_x + \bar{a}_y}, \quad (42)$$

откуда с учетом выражений (39), (41) для  $\bar{n}^{(\nu)}$  из формулы (40) получаем окончательно

$$\bar{n}^{(x)} = \frac{1}{1 + \gamma \operatorname{tg} \theta}, \quad \bar{n}^{(y)} = \frac{\gamma \operatorname{tg} \theta}{1 + \gamma \operatorname{tg} \theta}, \quad (43)$$

$$\gamma = \sqrt{\frac{\sigma_{ye}}{\sigma_{xe}}}.$$

Поле, определенное формулой (40), однородно и поэтому интегрирование напряженности  $E_{\nu 1}$  сводится просто к умножению ее на соответствующую площадь.

Для вычисления интеграла от  $\mathbf{E}$  по площади включения воспользуемся подходом, аналогичным примененному в предыдущем разделе. Отличие состоит только в том, что при преобразовании типа (23)–(25) в качестве коэффициента  $\gamma$  следует взять величину, определенную в формуле (43):  $\gamma = \sqrt{\sigma_{ye}/\sigma_{xe}}$ . Для соответствующего интеграла, усредненного по включениям с углами  $\theta$  и  $-\theta$ , аналогично формулам (32)–(34) получим

$$\int_s E_\nu dS = -4\pi\gamma \frac{\sigma_{\nu e}}{\sigma_{\nu e} - \sigma_2} \bar{\Lambda}'_\nu E_{\nu 0}. \quad (44)$$

Подстановка в (38) (после указанной выше замены  $\{\dots\}_i$  на интегралы от  $\mathbf{E}_i$ ) выражений (40) и (44) приводит к искомым уравнениям приближения эффективной среды

$$p \frac{\sigma_{\nu e} - \sigma_1}{\sigma_{\nu e} - (\sigma_{\nu e} - \sigma_1) \bar{n}^{(\nu)}} - 4\pi\gamma N \bar{\Lambda}'_\nu = 0, \quad (45)$$

$$\nu = x, y$$

с  $\gamma$  из (43). В формуле (45)  $p$  — доля площади, занимаемой первой компонентой,  $\bar{\Lambda}'_\nu$  — диагональная составляющая тензора поляризуемости включения, вычисленного в «штрихованной» системе.

Для рассматриваемой модели включения имеют нулевую площадь, так что в (45) следует положить  $p = 1$ . В штрихованной системе царапина меняет как длину, так и угол наклона:

$$a' = a \frac{\cos \theta}{\gamma} \sqrt{1 + \gamma^2 \operatorname{tg}^2 \theta}, \quad \operatorname{tg} \theta' = \gamma \operatorname{tg} \theta. \quad (46)$$

Поэтому для диагональных составляющих тензора  $\hat{\Lambda}'$  в случае непроводящих ( $d$ ) царапин находим

$$\bar{\Lambda}'_{xd} = -\frac{(a')^2}{4} \cos^2 \theta' = -\frac{a^2}{4\gamma^2} \cos^2 \theta, \quad (47)$$

$$\bar{\Lambda}'_{yd} = -\frac{(a')^2}{4} \sin^2 \theta' = -\frac{a^2}{4} \sin^2 \theta. \quad (48)$$

Подставляя (47), (48) в (45), для безразмерных проводимостей  $f_{\nu d} = \sigma_{\nu e}^{(d)}/\sigma_1$  с учетом  $p = 1$  получаем

$$f_{xd} = \frac{1 - g \gamma^{-1} \bar{n}^{(x)} \cos^2 \theta}{1 + g \gamma^{-1} \bar{n}^{(y)} \cos^2 \theta}, \quad g = \pi a^2 N, \quad (49)$$

$$f_{yd} = \frac{1 - g \gamma \bar{n}^{(y)} \sin^2 \theta}{1 + g \gamma \bar{n}^{(x)} \sin^2 \theta} \quad (50)$$

с  $\bar{n}^{(x)}$  и  $\bar{n}^{(y)}$  из формул (43). При выводе (49), (50) использовано очевидное тождество  $\bar{n}^{(x)} + \bar{n}^{(y)} = 1$ . Для определения параметра  $\gamma = \sqrt{f_{yd}/f_{xd}}$  из (49), (50) следует уравнение

$$\gamma^2 = \frac{1 - g \gamma \bar{n}^{(y)} \sin^2 \theta}{1 + g \gamma \bar{n}^{(x)} \sin^2 \theta} \frac{1 + g \gamma^{-1} \bar{n}^{(y)} \cos^2 \theta}{1 - g \gamma^{-1} \bar{n}^{(x)} \cos^2 \theta}. \quad (51)$$

Для идеально проводящих ( $s$ ) царапин соответствующие безразмерные проводимости находятся из формул (49) и (50) с помощью соотношений

$$f_{xs} = \frac{1}{f_{yd}}, \quad f_{ys} = \frac{1}{f_{xd}} \quad (52)$$

при том же параметре  $\gamma = \sqrt{f_{ys}/f_{xs}} = \sqrt{f_{yd}/f_{xd}}$ .

Формулы (49), (50) и (52) вместе с уравнением (51) и выражениями (43) для  $\bar{n}^{(\nu)}$  дают решение поставленной задачи в рамках приближения эффективной среды.

## 6. ПРЕДЕЛЬНЫЕ СЛУЧАИ

Анализ уравнений (49)–(51) при произвольных значениях величин  $a$ ,  $\theta$  и  $N$  требует привлечения

численных методов. Ниже ограничимся рассмотрением некоторых предельных случаев.

1. При  $\theta = 0$  ток, направленный вдоль непроницаемых царапин, не испытывает сопротивления и из формулы (50) следует очевидный результат  $f_{yd} = 1$ . В этом случае  $\bar{n}^{(x)} = 1$  и  $\bar{n}^{(y)} = 0$ , так что из формулы (49) для проводимости  $f_{xd}$  получаем уравнение

$$f_{xd} = 1 - \pi a^2 N \gamma^{-1}, \quad (53)$$

откуда с учетом равенства  $\gamma = 1/\sqrt{f_{xd}}$  находим

$$f_{xd} = F\left(\frac{1}{2}\pi a^2 N\right), \quad F(\xi) = \left[\sqrt{1 + \xi^2} - \xi\right]^2. \quad (54)$$

С другой стороны, решением уравнения (51) при  $\theta = 0$  является

$$\gamma = g/2 + \sqrt{g^2/4 + 1} \quad (55)$$

и подстановка (55) в выражение (53) также приводит к формуле (54).

При  $a^2 N \ll 1$  из (54) следует выражение (17) с  $\theta = 0$ . В противоположном случае,  $a^2 N \gg 1$ , имеем

$$f_{xd} \approx \frac{1}{(\pi a^2 N)^2}, \quad (56)$$

что согласуется с качественной оценкой, приведенной в работе [8]. В этом случае проводимость  $f_{xd}$  обращается в нуль только в пределе  $N \rightarrow \infty$ . Отметим, что функция  $F(\xi)$  из формулы (54) возникает и при рассмотрении проводимости двумерного композита с естественной анизотропией в приближении эффективной среды [9].

2. При  $\theta = \pi/4$  уравнение (51) сводится к  $(\gamma + 1)^3(\gamma - 1) = 0$ . Отсюда следует, что  $\gamma = 1$ , т.е. при  $\theta = \pi/4$  модель является макроскопически изотропной и характеризуется скалярной эффективной проводимостью  $f_d$ , для которой из (49), (50) с учетом равенства  $\bar{n}^{(x)} = \bar{n}^{(y)} = 1/2$  получаем

$$f_d = \frac{1 - \pi a^2 N/4}{1 + \pi a^2 N/4}. \quad (57)$$

В этом случае в рассматриваемой модели имеется порог протекания — проводимость обращается в нуль при критической концентрации

$$N_c = \frac{4}{\pi a^2}, \quad \theta = \frac{1}{4}\pi. \quad (58)$$

Величина (58) близка к значению порога протекания для макроскопически изотропной модели с хаотической ориентацией царапин, найденного в работе [15]:

$$N_c = \frac{(2.118)^2}{\pi a^2}. \quad (59)$$

Аналогичная оценка для  $N_c$  дана в работе [10].

3. При углах  $\theta$  в диапазоне  $0 < \theta < \pi/4$  компьютерное моделирование, проведенное в работах [10, 11], дало разные критические концентрации для величин  $f_{xd}$  и  $f_{yd}$ . В этом случае параметр  $\gamma$  из формул (49)–(51) должен обращаться либо в нуль, либо в бесконечность при стремлении  $N$  к первому (наименьшему) порогу протекания. Однако ни тот, ни другой предел не совместим с выражениями (49)–(51). Поэтому остается единственная возможность — одновременное обращение в нуль проводимостей  $f_{xd}$  и  $f_{yd}$ , так что в приближении эффективной среды имеется только один порог протекания  $N_c$ .

Для определения порога  $N_c$  приравняем числители выражений (49) и (50) нулю. Каждое из получившихся двух уравнений решаем относительно величины  $g$ . Поскольку порог протекания один, эти выражения для  $g$  должны быть равны, что дает уравнение для определения параметра  $\gamma$  в точке фазового перехода металл–диэлектрик. Решением этого уравнения является

$$\gamma_c = \text{ctg } \theta. \quad (60)$$

С помощью равенства (60) находим критическое значение величины  $g$ :

$$g_c = \frac{4}{\sin 2\theta}, \quad (61)$$

откуда для искомого порога протекания получаем

$$N_c(\theta) = \frac{4}{\pi a^2 \sin 2\theta}. \quad (62)$$

При  $\theta = \pi/4$  из (62) следует выражение (58).

Для того чтобы найти зависимость проводимостей  $f_{xd}$  и  $f_{yd}$  от параметра близости к точке фазового перехода  $\tau = (N_c - N)/N_c \ll 1$ , положим в уравнении (51)

$$\gamma = \gamma_c + \delta\gamma, \quad g = g_c + \delta g, \quad (63)$$

где  $\delta\gamma$  и  $\delta g$  — величины одного порядка малости. В результате из (51) находим

$$\delta\gamma = \frac{1}{3} \cos^2 \theta \cos 2\theta \delta g. \quad (64)$$

Подстановка выражения (64) в (49) и (50) дает

$$f_{xd} \approx \sin^2 \theta \frac{N_c - N}{N_c}, \quad f_{yd} \approx \cos^2 \theta \frac{N_c - N}{N_c}. \quad (65)$$

Из формул (65) следует, что в пределе  $N \rightarrow N_c$  имеем  $\sqrt{f_{yd}/f_{xd}} = \text{ctg } \theta$ , что согласуется с (60).

Отметим, что несмотря на результаты компьютерного эксперимента в работе [10] сделан вывод,

что порог протекания должен быть один. Для соответствующей критической длины царапины в работе [10] была предложена формула, из которой для порога протекания в случае нашей модели следует выражение

$$N_c(\theta) = \frac{N_c(\pi/4)}{\sin 2\theta}, \quad (66)$$

где  $N_c(\pi/4)$  — порог протекания для изотропной (при  $\theta = \pi/4$ ) модели. Как отмечалось выше, величина  $N_c(\pi/4)$ , согласно работам [10, 11], близка к значению (58), так что выражения (62) и (66) практически совпадают.

### 7. КРИТИЧЕСКАЯ ОБЛАСТЬ

Как и в других приближениях типа самосогласованного поля, проводимости  $f_{xd}$  и  $f_{yd}$  из (65) при  $N \rightarrow N_c$  линейно зависят от параметра близости к точке фазового перехода  $\tau = (N_c - N)/N_c$ . Однако, как и в обычной (изотропной) теории протекания [1–3], в реальности эти зависимости являются, по-видимому, степенными с соответствующими критическими индексами. Для оценки этих зависимостей в окрестности порога протекания поступим следующим образом.

Преобразуем координаты, напряженность электрического поля и плотность тока согласно формулам (23)–(25) с параметром  $\gamma$ , определенным из условия  $\theta' = \pi/4$ . В этом случае из формулы (46) следует

$$\gamma = \text{ctg } \theta, \quad a' = \sqrt{2} a \sin \theta. \quad (67)$$

При таком преобразовании исходно изотропная матрица со скалярной проводимостью  $\sigma_1$  становится анизотропной с тензором проводимости  $\hat{\sigma}'_1 = (\sigma'_{x1}, \sigma'_{y1})$ , где

$$\sigma'_{x1} = \gamma \sigma_1, \quad \sigma'_{y1} = \gamma^{-1} \sigma_1. \quad (68)$$

Аналогичными соотношениями связаны составляющие тензоров эффективной проводимости исходной  $\hat{\sigma}_e$  и штрихованной  $\hat{\sigma}'_e$  систем:

$$\sigma_{xe} = \gamma^{-1} \sigma'_{xe}, \quad \sigma_{ye} = \gamma \sigma'_{ye}. \quad (69)$$

Далее имеем  $\langle L_x \rangle = \langle L'_x \rangle$  и

$$\langle L'_y \rangle = \gamma^{-1} \langle L_y \rangle = \langle L'_x \rangle, \quad (70)$$

так что в штрихованной системе распределение включений структурно (геометрически) изотропно. В то же время критическая концентрация является чисто геометрической характеристикой распределения диэлектрических включений и не зависит от

проводящей компоненты, которая может быть как изотропной, так и анизотропной. Поэтому для порога протекания штрихованной системы  $N'_c$  имеем

$$N'_c = \frac{G}{\pi (a')^2} = \frac{G}{2\pi a^2 \sin^2 \theta}, \quad (71)$$

где, в согласии с предыдущим разделом,  $G \approx 4$ . Концентрации включений для исходной  $N$  и штрихованной  $N'$  систем связаны соотношением

$$N = \gamma^{-1} N', \quad (72)$$

так что для порога протекания исследуемой модели  $N_c$  из уравнения (71) с учетом (72) и определения  $\gamma = \text{ctg } \theta$  находим

$$N_c = \frac{G}{\pi a^2 \sin 2\theta}, \quad (73)$$

что фактически совпадает с формулами (62), (66).

Согласно сказанному выше, штрихованная система представляет собой двумерный композит изотропной структуры с матрицей, обладающей проводимостью с естественной анизотропией. Как отмечалось в работах [5–9], такой композит становится практически изотропным при приближении к порогу протекания, так что  $\sigma'_{xe} \approx \sigma'_{ye}$ . Так, если эффективная электропроводность  $\sigma'_e$  композита той же структуры со скалярной проводимостью матрицы  $\sigma'_1$  при  $N \rightarrow N_c$  убывает по закону

$$\tau \rightarrow 0: \quad \sigma'_e \approx A \sigma'_1 \tau^t, \quad \tau = \frac{N_c - N}{N_c} \quad (74)$$

(здесь  $A$  — численный коэффициент порядка единицы), то для анизотропного случая при  $\sigma'_{x1} \gg \sigma'_{y1}$  будем иметь [9]

$$\tau \rightarrow 0: \quad \sigma'_{xe} \approx \sigma'_{ye} \approx 2A \sigma'_{y1} \tau^t \quad (75)$$

с тем же («изотропным») критическим индексом  $t$ .

В формуле (75) учтено, что основной вклад в сопротивление композита как целого вносят участки путей протекания с наименьшей проводимостью  $\sigma'_{y1}$ . Коэффициент 2 в формуле (75) связан с тем, что участки с проводимостями  $\sigma'_{x1}$  и  $\sigma'_{y1}$  встречаются одинаково часто и при  $\sigma'_{x1} \gg \sigma'_{y1}$  участки с  $\sigma'_{x1}$  вносят в сопротивление пренебрежимо малый вклад.

При произвольном соотношении между  $\sigma'_{x1}$  и  $\sigma'_{y1}$  для удельного сопротивления путей протекания будем иметь

$$\frac{1}{2} \left( \frac{1}{\sigma'_{x1}} + \frac{1}{\sigma'_{y1}} \right), \quad (76)$$



так что вместо формулы (75) получим

$$\tau \rightarrow 0: \quad \sigma'_{xe} \approx \sigma'_{ye} \approx 2 \frac{\sigma'_{x1} \sigma'_{y1}}{\sigma'_{x1} + \sigma'_{y1}} A \tau^t. \quad (77)$$

Для изотропного случая ( $\sigma'_{x1} = \sigma'_{y1} = \sigma'_1$ ) из формулы (77) следует (74), а при  $\sigma'_{x1} \gg \sigma'_{y1}$  — формула (75).

Подстановка в (77) выражений (68) с параметром  $\gamma$  из (67) дает

$$\tau \rightarrow 0: \quad \sigma'_{xe} \approx \sigma'_{ye} \approx \sigma_1 A \sin 2\theta \tau^t. \quad (78)$$

Наконец, из равенств (69) с учетом формул (78) для  $f_\nu = \sigma_{\nu e} / \sigma_1$  находим окончательно

$$\tau \rightarrow 0: \quad f_x \approx 2A \sin^2 \theta \tau^t, \quad f_y \approx 2A \cos^2 \theta \tau^t \quad (79)$$

с  $\tau$  из (74). Выражения (79) отличаются от (65) заменой  $\tau$  на  $2A\tau^t$ .

### ПРИЛОЖЕНИЕ

1. Пусть в изотропной среде проводимости  $\sigma_1$  имеется включение (проводимости  $\sigma_2$ ) произвольной формы, находящееся во внешнем однородном электрическом поле напряженности  $\mathbf{E}_0$ . Вдали от включения асимптотика потенциала  $\varphi(\mathbf{r})$  в двумерном случае имеет вид

$$r \rightarrow \infty: \quad \varphi(\mathbf{r}) \approx -\mathbf{E}_0 \cdot \mathbf{r} + 2 \frac{\mathbf{p}\mathbf{r}}{r^2} + \dots, \quad (A.1)$$

где

$$\mathbf{p} = \hat{\Lambda} \mathbf{E}_0, \quad \hat{\Lambda} = \begin{pmatrix} \Lambda_{xx} & \Lambda_{xy} \\ \Lambda_{xy} & \Lambda_{yy} \end{pmatrix}. \quad (A.2)$$

Здесь  $\hat{\Lambda}$  — симметричный тензор дипольной поляризуемости включения. Вычислив  $E_x = -\partial\varphi/\partial x$  и  $E_y = -\partial\varphi/\partial y$  с использованием (A.1), найдем асимптотику производной комплексного потенциала  $\Phi'(z) = -E_x + iE_y$  (где  $z = x + iy$ ), откуда получаем ( $z \rightarrow \infty$ )

$$\Phi(z) \approx -(E_{0x} - iE_{0y})z + 2 \frac{\Lambda_{xx}E_{0x} + i\Lambda_{xy}(E_{0x} - iE_{0y}) + i\Lambda_{yy}E_{0y}}{z} + \dots \quad (A.3)$$

В частном случае кругового включения радиуса  $R$  может быть найдено точное выражение для комплексного потенциала этой задачи, справедливое во всей внешней области:

$$|z| \geq R: \quad \Phi(z) = -(E_{0x} - iE_{0y})z - R^2 \frac{\sigma_1 - \sigma_2}{\sigma_1 + \sigma_2} \frac{E_{0x} + iE_{0y}}{z}. \quad (A.4)$$

Ниже понадобится комплексный потенциал для круга единичного радиуса в предельных случаях  $\sigma_2 = 0$  и  $\sigma_2 = \infty$ , имеющий следующий вид:

$$|z| \geq 1: \quad \Phi(z) = -(u_{0x} - iu_{0y})z - \lambda \frac{u_{0x} + iu_{0y}}{z}, \quad (A.5)$$

где  $\lambda = +1$  для диэлектрического включения и  $\lambda = -1$  для идеально проводящего. В формуле (A.5)  $\mathbf{u}_0 = (u_{0x}, u_{0y})$  — напряженность внешнего электрического поля.

Обозначим через  $w = w(z)$  функцию, конформно отображающую внешность исходного включения на внешность круга единичного радиуса. Асимптотическое выражение для  $w(z)$  в общем случае имеет вид

$$z \rightarrow \infty: \quad w(z) \approx \frac{z}{C} + \frac{D}{z} + \dots \quad (A.6)$$

В разложении (A.6) опущено несущественное для дальнейшего постоянное слагаемое. Константы  $C$  и  $D$ , вообще говоря, комплексны:

$$C = C' + iC'', \quad D = D' + iD''. \quad (A.7)$$

Согласно формуле (A.6) преобразование  $w = w(z)$  асимптотически является линейным. Следовательно, в плоскости  $w$ , как и в плоскости  $z$ , поле на бесконечности однородно. Поэтому соответствующий комплексный потенциал этой задачи в плоскости  $w$  имеет вид (A.5) с заменой  $z \rightarrow w$ :

$$|w| \geq 1: \quad \Phi(w) = -(u_{0x} - iu_{0y})w - \lambda \frac{u_{0x} + iu_{0y}}{w}. \quad (A.8)$$

Искомый комплексный потенциал  $\Phi(z)$  следует из (A.8) при подстановке функции  $w = w(z)$ .

Потенциал однородного поля в плоскости  $z$  должен иметь вид  $-(E_{0x} - iE_{0y})z$ , так что из (A.8) и (A.6) заключаем, что

$$u_{0x} - iu_{0y} = C(E_{0x} - iE_{0y}). \quad (A.9)$$

Подставляя (A.9) и (A.6) в (A.8) и сравнивая с асимптотикой (A.3), найдем выражения для составляющих тензора поляризуемости  $\hat{\Lambda}$ :

$$\Lambda_{xx} = -\frac{1}{2}(\lambda|C|^2 + C'D' - C''D''), \quad (A.10)$$

$$\Lambda_{yy} = -\frac{1}{2}(\lambda|C|^2 - C'D' + C''D''), \quad (A.11)$$

$$\Lambda_{xy} = -\frac{1}{2}(C'D'' + C''D'). \quad (A.12)$$

Сравнение выражений (A.10)–(A.12) для диэлектрического ( $d$ ) включения при  $\lambda = +1$  и для идеально проводящего ( $s$ ) при  $\lambda = -1$  показывает, что

$$\Lambda_{xx}^{(s)} = -\Lambda_{yy}^{(d)}, \quad \Lambda_{yy}^{(s)} = -\Lambda_{xx}^{(d)}, \quad \Lambda_{xy}^{(s)} = \Lambda_{xy}^{(d)}. \quad (A.13)$$

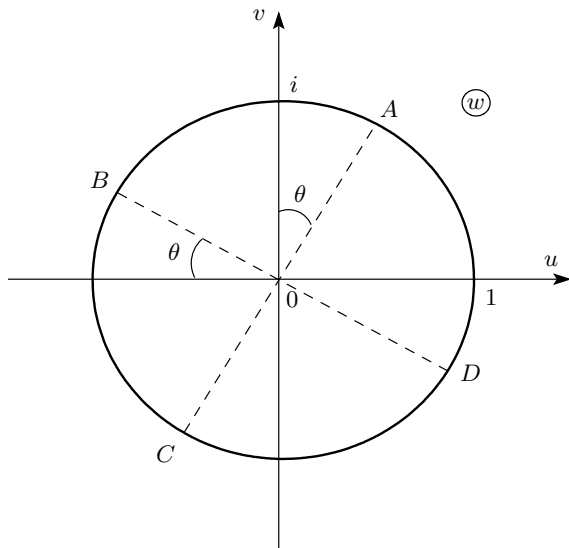


Рис. 2. Круг единичного радиуса в комплексной плоскости переменной  $w = u + iv$

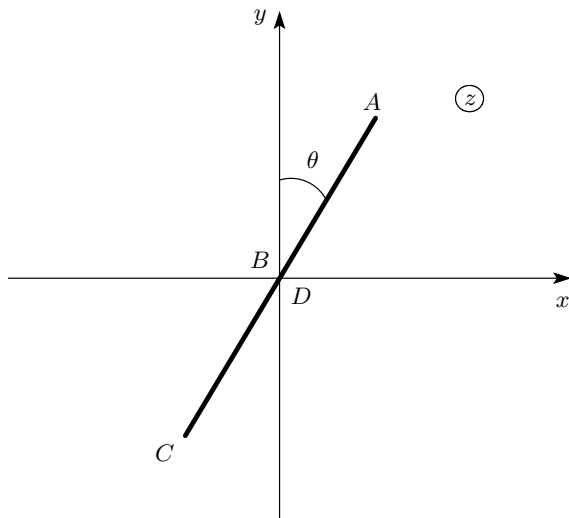


Рис. 3. Включение («царапина») в комплексной плоскости переменной  $z = x + iy$

Соотношения (A.13) справедливы в двумерном случае для включений произвольной формы.

2. Функция

$$z = \frac{a}{2} \frac{w^2 - e^{-2i\theta}}{w} \tag{A.14}$$

конформно отображает внешность единичного круга (рис. 2) на внешность отрезка прямой длины  $2a$ , изображенного на рис. 3. При этом точке  $w_A = ie^{-i\theta}$  отвечает  $z_A = ia e^{-i\theta}$ , точке  $w_B = -e^{-i\theta}$  соответствует  $z_B = 0$  и т. д.

Находя из равенства (A.14) асимптотику функции  $w(z)$  и сравнивая с (A.6), получаем

$$C = \frac{a}{2}, \quad D = \frac{a}{2} e^{-2i\theta}. \tag{A.15}$$

Поэтому для тензора поляризуемости непроницаемой царапины из (A.10)–(A.12) с учетом (A.15) находим

$$\hat{\Lambda}_d = -\frac{a^2}{4} \begin{pmatrix} \cos^2 \theta & -\sin \theta \cos \theta \\ -\sin \theta \cos \theta & \sin^2 \theta \end{pmatrix}. \tag{A.16}$$

Составляющие тензора поляризуемости идеально проводящей царапины находятся из (A.16) по соотношениям (A.13).

ЛИТЕРАТУРА

1. S. Kirkpatrick, Rev. Mod. Phys. **45**, 574 (1973). (Пер. в сб. *Теория и свойства неупорядоченных материалов*, Мир, Москва (1977).)
2. Б. И. Шкловский, А. Л. Эфрос, УФН **117**, 401 (1975).
3. A. L. Efros and B. I. Shklovskii, Phys. Stat. Sol. B **76**, 475 (1976).
4. J. Bernasconi, Phys. Rev. B **9**, 4575 (1974).
5. B. I. Shklovskii, Phys. Stat. Sol. B **85**, K111 (1978).
6. Б. И. Шкловский, Письма в ЖТФ **7**, 1312 (1981).
7. C. J. Lobb, D. J. Frank, and M. Tinkham, Phys. Rev. B **23**, 2262 (1981).
8. Б. Я. Балагуров, ЖЭТФ **82**, 2053 (1982).
9. Б. Я. Балагуров, ФТТ **27**, 2375 (1985).
10. I. Balberg and N. Binenbaum, Phys. Rev. B **28**, 3799 (1983).
11. W. J. Boudville and T. C. McGill, Phys. Rev. B **39**, 369 (1989).
12. J. Tobochnik, M. A. Dubson, and M. L. Wilson, Phys. Rev. A **40**, 5370 (1989).
13. К. Н. Хан, J. O. Lee, and Sung-Ik Lee, Phys. Rev. B **44**, 6791 (1991).
14. В. Я. Балагуров and Г. А. Виноградов, Composites: Part A **37**, 1805 (2006).
15. G. E. Pike and C. H. Seager, Phys. Rev. B **10**, 1421 (1974).
16. М. Кендалл, П. Моран, *Геометрические вероятности*, Наука, Москва (1972).
17. Л. Д. Ландау, Е. М. Лифшиц, *Электродинамика сплошных сред*, Наука, Москва (1992).
18. Б. Я. Балагуров, ЖТФ **52**, 850 (1982).